



# БИООРГАНИЧЕСКАЯ ХИМИЯ

том 16 \* № 5 \* 1990

УДК 547.963.32.057

© 1990 г.

*А. Г. Веняминова, З. А. Косолапова, М. Н. Репкова*

## ОЛИГО(2'-О-МЕТИЛРИБОНУКЛЕОТИДЫ) И ИХ ПРОИЗВОДНЫЕ

### I. АВТОМАТИЧЕСКИЙ СИНТЕЗ

ОЛИГО(2'-О-МЕТИЛРИБОНУКЛЕОТИДОВ) ЧЕРЕЗ Н-ФОСФОНАТЫ

*Новосибирский институт биоорганической химии СО АН СССР*

Н-Фосфонатный метод применен для эффективного синтеза олиго(2'-О-метилрибонуклеотидов), обладающих комплексом химических и биологических свойств, полезных при конструировании РНК-зондов различной химической природы. 2'-О-Метильную группу вводили в защищенные рибонуклеозиды действием иодистого метила в присутствии оксида серебра с последующим удалением временной 3',5'-О-(тетраизопропилдисилоксан-1,3-диильной) защитной группы. Для выделения 2'-О-метилрибонуклеозидов использована обращенно-фазовая хроматография. 5'-О-Диметокситритил-2'-О-метилрибонуклеозид-3'-Н-фосфонаты (новые представители класса Н-фосфонатов) получены путем взаимодействия защищенных нуклеозидов с салицилхлорфосфином и последующей обращенно-фазовой хроматографии. Пиримидиновые олиго(2'-О-метилрибонуклеотиды) длиной от 6 до 15 звеньев синтезированы на отечественном приборе «Виктория-5М». Средний выход на стадию 70—84%, общий выход — от 9 до 28%.

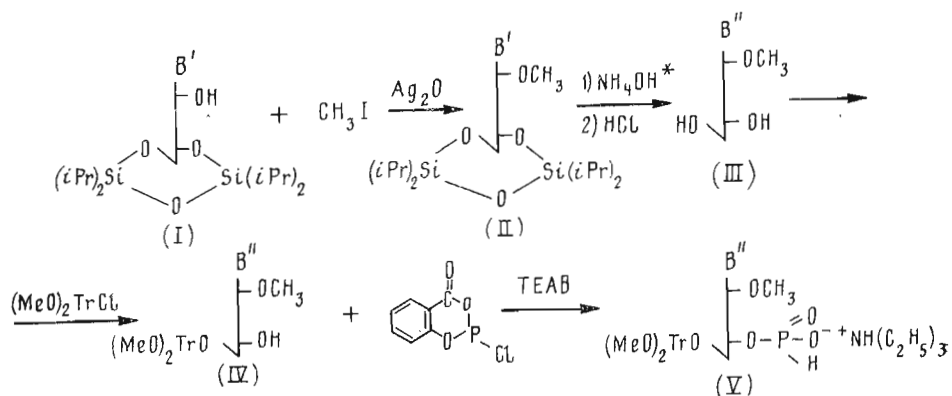
В связи с развитием эффективных методов твердофазного химического синтеза олигорибонуклеотидов в последние годы вновь возник интерес к 2'-О-метилсодержащим аналогам олигорибонуклеотидов, обладающим комплексом полезных химических и биологических свойств (см. [1] и цитированные там работы). Эти аналоги имеют практически ту же конформацию двойной спирали, что и обычные олигорибонуклеотиды; термическая стабильность дуплексов с участием 2'-О-метилрибоолигомеров столь же высока, как и в случае обычных олигорибонуклеотидов. С другой стороны, наличие метильной группы в 2'-положении рибозного кольца делает эти олигорибонуклеотиды устойчивыми к действию щелочных агентов и рибонуклеаз. Подобное сочетание свойств 2'-О-метильных производных позволяет считать их удачной альтернативой олигорибонуклеотидам в ряде случаев. Весьма важно и то, что вследствие высокой стабильности 2'-О-метильной группы, ее малого размера и соответственно малой стерической затрудненности реакций фосфорилирования [2] синтез олиго(2'-О-метилрибонуклеотидов) по сути аналогичен синтезу олигодезоксирибонуклеотидов.

В ряде работ, появившихся в 1987—1988 гг., описан синтез 2'-О-метилированных олигорибонуклеотидов и их применение для молекулярно-биологических целей. В работах Оцуки [4, 3—5] с помощью химерных (2'-О-метил-РНК)-ДНК-олигомеров было проведено сайт-специфическое расщепление фрагментов РНК РНКазой Н. Другой интересный пример использования таких аналогов описан в работе [6], где на основе синтетических олиго(2'-О-метилрибонуклеотидов) были сконструированы химерные адаптеры для направленной делеции ДНК нуклеазой *Bal31*. Синтез 2'-О-метилированных олигорибонуклеотидов был выполнен твердофазным методом по фосфотриэфирной [1] и фосфитамидной [6] схемам синтеза.

Сокращения: Nm — 2'-О-метилрибонуклеозид, Py — пиримидин, Thp — тетрагидроциранил, PivCl — пивалоилхлорид, iPr — изопропил, TIPDS — тетраизопропилдисилоксан-1,3-дииль, ФДЭ — фосфодиэстераза.

Нами предложено использовать для синтеза таких аналогов более эффективный Н-фосфонатный метод, известные преимущества которого [7, 8] позволяют получать целевые олиго(2'-О-метилрибонуклеотиды) с минимальным количеством стадий.

Исходные 2'-О-метилрибонуклеозиды (III) получали путем алкилирования иодистым метилом в присутствии избытка  $\text{Ag}_2\text{O}$  3',5'-О-(тетраизопропилдисилоксан-1,3-диил)рибонуклеозидных производных в соответствии с сообщением [5]:



где  $\text{B}' = \text{bz}^4\text{Cyt}$  (а) или  $\text{bz}^3\text{Ura}$  (б),  $\text{B}'' = \text{bz}^4\text{Cyt}$  (а) или  $\text{Ura}$  (в).

\* Обработка проводится в случае  $\text{B}' = \text{bz}^3\text{Ura}$ .

$\text{N}^3$ -Бензоил-3',5'-О-(TIPDS)уридин (IVa) для этого синтеза получали, несколько изменив методику, описанную в работе [5]: в реакции бензоилирования 3',5'-О-(TIPDS)уридина использовали катализ  $\text{N}$ -метилмидазолом, что позволило значительно сократить время реакции.

Полученные в результате реакции метилирования соединения (Па и б) выделяли адсорбционной хроматографией на силикагеле с выходом 70—80 %. Для выделения 2'-О-метилрибонуклеозидов (Па, в) мы использовали обращенно-фазовую хроматографию, что позволило значительно снизить потери вещества на этой стадии и получить целевой продукт с высокой степенью чистоты. Наличие метильной группы в 2'-положении рибозного кольца подтверждало с помощью спектров протонного магнитного резонанса. Характеристики синтезированных 2'-О-метилрибонуклеозидов совпали с литературными [5].

Взаимодействием салицилхлорфосфина [9] с соответствующим образом защищенным нуклеозидами (IVa, в) были синтезированы и выделены в условиях, описанных нами ранее [10], новые представители класса Н-фосфонатов —  $\text{N}^4$ -бензоил-5'-О-диметокситритил-2'-О-метилцитидин-3'-Н-фосфонат (Va) и 5'-О-диметокситритил-2'-О-метилуридин-3'-Н-фосфонат (Vb). Выходы и характеристики защищенных рибонуклеозид-3'-Н-фосфонатов приведены в табл. 1.

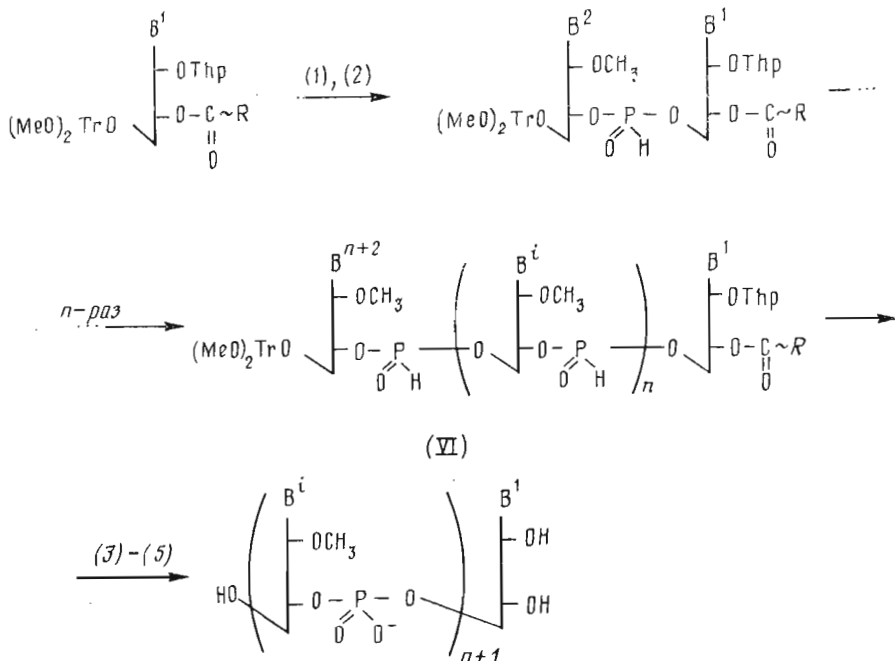
Таблица I

Выходы и характеристики  
5'-О-диметокситритил-2'-О-метилрибонуклеозид-3'-Н-фосфонатов (V)

Соединение	Выход, %	$^{31}\text{P}$ -ЯМР *, $\delta$ , м. д.	ТХ, $R_f$		УФ-спектр ( $\text{EtOH}$ ), нм					Обращено-фазовая МКХ	
			система		$\lambda_{\max}$	$\lambda_{\min}$	$\frac{\varepsilon_{210}}{\varepsilon_{260}}$	$\frac{\varepsilon_{280}}{\varepsilon_{260}}$	время удерживания, мин	хроматограф. чистота, %	
			$B$	$r$							
(Va)	94	0,69	0,3	0,44	260 304	250 292	0,94	0,40	10,4	98	
(Vb)	93	1,52	0,2	0,46	262	256	1,30	0,34	7,6	90	

\*  $^{31}\text{P}$ -ЯМР-спектры сняты в смеси пиридин —  $\text{CH}_3\text{CN}$  (1 : 1);  $J_{\text{P}, \text{H}} = 610$  Гц.

Полученные Н-фосфонаты (Va, в) были использованы для автоматического синтеза ряда олиго(2'-О-метилрибонуклеотидов) на синтезаторе «Виктория-5М» с модифицированной схемой.



- (1) 1%  $\text{CHCl}_2\text{CO}_2\text{H}$  в  $\text{CH}_2\text{Cl}_2$ .
- (2) 25 mM (V), 75 mM PivCl в Py/ $\text{CH}_3\text{CN}$ .
- (3) 0,2 M  $\text{I}_2$  в Py/ $\text{H}_2\text{O}$ .
- (4)  $\text{NH}_4\text{OH}$  конц.
- (5) 0,01 M HCl.

В качестве полимерного носителя использовали стекло СРГ-500 с емкостью по первому присоединяемому нуклеозидному звену  $\sim 30$  мкмоль/г. Нуклеозидным звеном, связанным с полимерным носителем, могут служить рибонуклеозиды, содержащие 2'-О-метильную или, как, например, в нашем случае, 2'-О-тетрагидропиранильную группу, что позволяет после удаления защитных групп синтезировать 2'-О-метилолигомеры с терминальной 2',3'-цис-диольной группировкой и в дальнейшем использовать их для получения производных по 3'-концу. Цикл присоединения одного нуклеотидного звена состоял из двух операций, дегидратации и конденсации (табл. 2), и занимал вместе с промывками 7 мин.

Таблица 2  
 Карта-схема операций на синтезаторе «Виктория-5М»

Операция	Реагент, растворитель	Время
1. Промывка	$\text{CH}_3\text{CN}$	20 с
2. Деблокирование	1% $\text{CHCl}_2\text{COOH}$ в $\text{CH}_2\text{Cl}_2$	2 мин
3. Промывка	$\text{CH}_3\text{CN}$ абс.	20 с
4. Дозирование мономеров и конд. агента	0,025 М (Va, в) 0,075 М PivCl в $\text{CH}_3\text{CN}$ — Py (1 : 1)	30 с 3 раза порциями по 60 мкл
5. Конденсация		3 мин 30 с
6. Промывка	$\text{CH}_3\text{CN}$	20 с

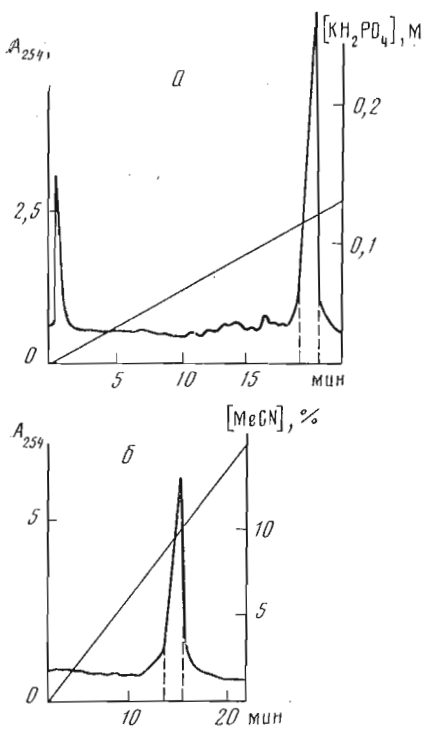


Рис. 1. Профили ВЭЖХ реакционных смесей при синтезе  $(\text{Cmp})_5\text{C}$ : а — колонка  $(4,6 \times 250 \text{ мм})$  с Полисил-СА [11], градиент концентрации  $\text{K}_2\text{HPO}_4$  ( $0 \rightarrow 0,3 \text{ M}$ ) в 30%  $\text{MeCN}$ , скорость элюции 3 мл/мин; б — колонка  $(4,6 \times 250 \text{ мм})$  с Lichrosorb RP-18, градиент концентрации  $\text{MeCN}$  в 0,5 М  $\text{LiClO}_4$ , скорость элюции 2 мл/мин

менем пик вещества, соответствующий по месту выхода и спектральным данным (не приводятся) неметилированному цитидину.

После проведения необходимого числа циклов связанный с полимером защищенный олигорибонуклеозид-Н-fosfonat (VI) окисляли раствором иода в водном пиридине до соответствующего фосфата. Последний обрабатывали последовательно конц.  $\text{NH}_4\text{OH}$  для удаления с полимера и гидролиза защитных групп с оснований и 0,01 М  $\text{HCl}$  для гидролиза  $(\text{MeO})_2\text{Tr}$ -группы с 5'-конца и Тир-группы с 3'-конца.

В результате ионообменной и обращенно-фазовой ВЭЖХ гидролизатов были выделены олигонуклеотиды  $(\text{Cmp})_5\text{C}$  (VIIа) и  $(\text{Ump})_5\text{U}$  (VIIб) (рис. 1). Пентадекануклеотид регулярного строения  $(\text{CmpCmpUmp})_4 \cdot \text{CmpCmpU}$  (VIIв) выделяли путем двух обращенно-фазовых хроматографий до и после удаления кислотолабильных защитных групп (рис. 2). Выходы синтезированных олигонуклеотидов представлены в табл. 3.

Нуклеотидный состав олигонуклеотидов подтверждался с помощью гидролиза смесью фосфодиэстеразы и 5'-нуклеотидазы из яда кобры с последующим количественным анализом обращенно-фазовой МКХ (см. «Экспериментальную часть» и рис. 3). Необходимо отметить, что при увеличении времени гидролиза в гидролизате появляется и растет со временем пик вещества, соответствующий по месту выхода и спектральным

Таблица 3

Выходы олиго(2'-О-метилрибонуклеотидов)

Олигонуклеотид	Выход, %		$\text{OE}_{50}$
	общий	средний на стадию	
$(\text{Ump})_5\text{U}$	16	70	4,6
$(\text{Cmp})_5\text{C}$	28	78	12,8
$(\text{CmpCmpUmp})_4 \cdot \text{CmpCmpU}$	9	84	4,5

Таким образом, продемонстрирован эффективный автоматический Н-fosfonatный синтез олиго(2'-О-метилрибонуклеотидов), позволяющий быстро и с высоким выходом получать аналоги олигорибонуклеотидов, которые могут служить основой для конструирования РНК-зондов различной химической природы и для решения других молекулярно-биологических задач.

#### Экспериментальная часть

В работе использованы нуклеозиды (Reanal, Венгрия), 1,3-дихлоро-1,1,3,3-тетраизопропилдисилоксан, пивалоихлорид (Sigma, США), N-метилимидазол,  $\text{PCl}_3$ , иодистый метил, дихлоруксусную кислоту (Fluka, Швейцария). Остальные реагенты и растворители — отечественного производства. Абсолютные растворители готовили стандартными методами.

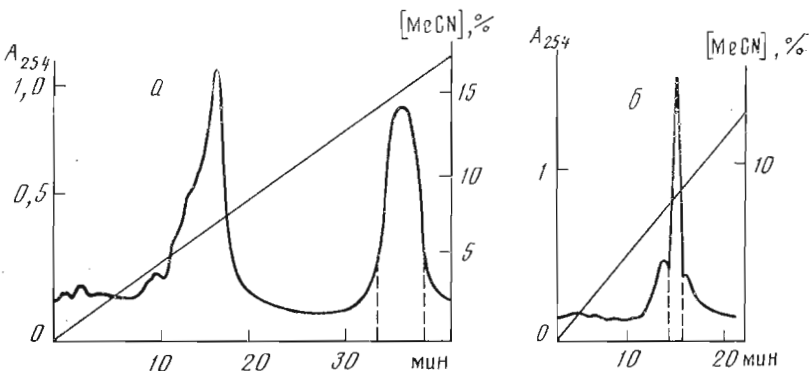


Рис. 2. Профили обращенно-фазовой ВЭЖХ реакционной смеси при синтезе  $(\text{CmpCmpUmp})_4\text{CmpCmpU}$  до (а) и после (б) удаления кислотолабильных защитных групп, колонка  $(4,6 \times 250 \text{ мм})$  с Lichrosorb RP-18, скорость элюции 2 мл/мин; градиент концентрации MeCN в 0,05 М  $\text{LiClO}_4$ , оттитрованном триэтиламином до рН 8 ( $\sim 0,01\%$ )

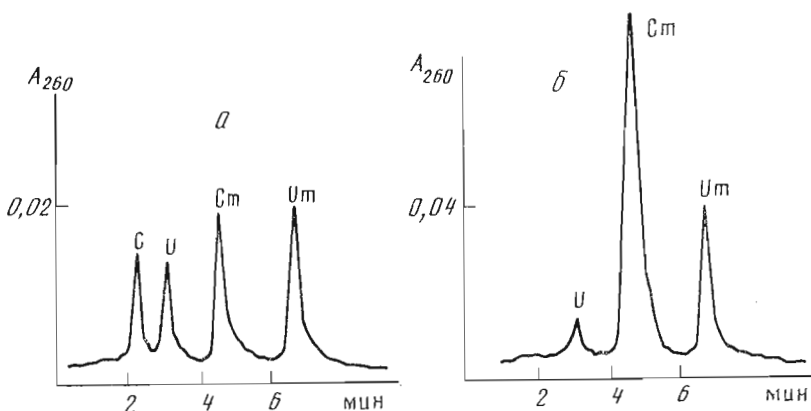


Рис. 3. Профили обращенно-фазовой МКХ на колонке с Silasorb C-18 ( $2 \times 62 \text{ мм}$ ) в градиенте концентрации MeOH (0—10%) в 0,02 М аммоний-ацетатном буфере (рН 5): а — смесь нуклеозидов-маркеров С, У, См, Ум; б — гидролизат олигонуклеотида  $(\text{CmpCmpUmp})_4\text{CmpCmpU}$

Окись серебра получали согласно [12]. Салицилхлорфосфин получали осторожным нагреванием салициловой кислоты с  $\text{PCl}_3$  и последующей перегонкой, т. кип.  $127^\circ\text{C}/1 \text{ мм}$  [13]. Пористое стекло CPG-500 (120—200 меш; Fluka, Швейцария) модифицировали согласно методике [10].

Рибонуклеозид-Н-фосфонаты выделяли обращенно-фазовый хроматографией среднего давления (стальная колонка  $30 \times 350 \text{ мм}$ , Silasorb C-18 (15 мкм, Chemapol, ЧССР), насос MP-50 (СКБ АН ЭССР)). Анализ и идентификацию веществ проводили с помощью ТСХ на DC-Alufolien Kieselgel 60  $\text{F}_{254}$  (Merck, ФРГ) в системах растворителей:  $\text{CHCl}_3$  — EtOH, 8 : 2 (А),  $\text{CHCl}_3$  — EtOH — ТЕА, 5,9 : 4 : 0,1 (Б),  $\text{CHCl}_3$  — EtOH, 9 : 1 (Б),  $\text{CH}_3\text{CN}$  —  $\text{H}_2\text{O}$ , 1 : 1 (Г).

Для адсорбционной хроматографии использовали силикагель L 40/100 (Chemapol, ЧССР). Микроколоночную хроматографию проводили на жидкостном микроколоночном хроматографе «Милихром» (отечественного производства) на сорбенте Lichrosorb RP-18 (5 мкм; Merck, ФРГ; колонка  $2 \times 62 \text{ мм}$ ) в градиенте концентрации метанола в 0,02 М ацетате аммония, рН 5 (скорость потока 100 мкл/мин). Олигорибонуклеотиды выделяли на хроматографе Altex (США). Для синтеза олигонуклеотидов использовали автоматический синтезатор «Виктория-5М» с вставкой для Н-фосфонатного метода (СКТБ СЭ и АН СО АН СССР). Для ферментативного гидролиза использовали ФДЭ (КФ 3.1.4.1) и 5'-нуклеотидазу (КФ 3.1.3.5) из яда кобры, любезно предоставленные В. И. Ямковым (НГУ).

$^1\text{H}$ - и  $^{31}\text{P}$ -ЯМР-спектры снимали на спектрометре HX-90 (Bruker,

ФРГ).  $^{31}\text{P}$ -ЯМР-спектры записывали на частоте 36,43 МГц (химические сдвиги (м. д.) приведены относительно 85%-ной  $\text{H}_3\text{PO}_4$  как внешнего стандарта) с гетероядерным подавлением спин-спинового взаимодействия  $^{31}\text{P}-\{\text{H}\}$  и без него.  $^1\text{H}$ -ЯМР-спектры записывали на частоте 90 МГц, химические сдвиги (м. д.) приведены относительно сигналов дейтерированных растворителей. УФ-спектры поглощения снимали на спектрофотометре Specord UV VIS (Carl Zeiss, ГДР).

*N<sup>3</sup>-Бензоил-3',5'-O-(тетраизопропилдисилоксан-1,3-диил)уридин (Iб)* получали по модифицированной методике [5], используя для бензоилирования 3',5'-O-TIPDS-уридина смесь 1,1 экв. бензоилхлорида и 0,5 экв. N-метилимидазола. Время реакции 1,5 ч. Выход после хроматографии на силикагеле 86 %.  $R_f$  0,45 (В).

*N<sup>3</sup>-Бензоил-2'-O-метил-3',5'-O-(тетраизопропилдисилоксан-1,3-диил)уридин (IIб)* получали по методике [5]. Выход после хроматографии на силикагеле 40 %,  $R_f$  0,62 (В).  $^1\text{H}$ -ЯМР-спектр ( $\text{CDCl}_3$ ): 8,1—7,2 (6Н, м, 6-Н и Bz); 5,82 (1Н, д, 5-Н); 5,78 (1Н, с, 1-Н); 4,2—3,8 (5Н, м, 2',3',4', 5'-Н); 3,66 (3Н, с, 2'-OCH<sub>3</sub>); 0,99 (28Н, м, TIPDS). Лит. [5]:  $^1\text{H}$ -ЯМР-спектр ( $\text{CDCl}_3$ , δ, м. д., относительно ТМС): 8,1—7,3 (6Н, м, 6-Н и Bz), 5,80 (1Н, д, 5-Н); 5,76 (1Н, с, 1-Н); 4,5—3,9 (5Н, м, 2',3',4',5'-Н); 3,60 (3Н, с, 2'-OCH<sub>3</sub>); 1,1 (28Н, м, TIPDS).

*2-O-Метилуридин (IIIб)* получали так же, как в [5], за исключением того, что для выделения продукта из реакционной смеси после удаления защитных групп использовали обращенно-фазовую хроматографию среднего давления на Silasorb C-18 (колонка 30 × 350 мм) в градиенте концентрации этанола в воде. Выход 2'-O-метилуридина 35 %.  $R_f$  0,30 (А). Обращенно-фазовая МКХ (условия см. рис. 3): время удерживания 6,6 мин, хроматографическая чистота 96 %, спектральные соотношения:  $\varepsilon_{250}/\varepsilon_{260}$  0,75,  $\varepsilon_{280}/\varepsilon_{260}$  0,38. УФ-спектр (этанол):  $\lambda_{\max}$  260 нм,  $\lambda_{\min}$  230 нм. Лит. [5]: УФ-спектр (метанол):  $\lambda_{\max}$  261 нм,  $\lambda_{\min}$  232 нм.

*N<sup>4</sup>-Бензоил-2'-O-метилцитидин (IIIа)* получали по методике [5]. Выделение проводили с помощью препаративной обращенно-фазовой хроматографии, как это описано для 2'-O-метилуридина. Выход 40 %.  $R_f$  0,53 (А). Обращенно-фазовая МКХ (условия см. выше): время удерживания 20,2 мин, хроматографическая чистота 98 %, спектральные соотношения:  $\varepsilon_{250}/\varepsilon_{260}$  0,82,  $\varepsilon_{280}/\varepsilon_{260}$  0,46. УФ-спектр (этанол):  $\lambda_{\max}$  260, 304 нм,  $\lambda_{\min}$  286 нм. Лит. [5]: УФ-спектр (этанол):  $\lambda_{\max}$  259, 303 нм,  $\lambda_{\min}$  284 нм.  $^1\text{H}$ -ЯМР-спектр ( $\text{DMSO}-d_6$ ): 11,3 (1Н, с, N<sup>4</sup>-Н); 8,5 (1Н, д, 6-Н); 7,9 (1Н, д' 5-Н); 7,4—7,2 (5Н, м, Bz); 5,86 (1Н, д, 1-Н); 5,15 (2Н, м, 3', 5'-ОН); 4,1—3,7 (5Н, м, 2',3',4',5'-Н); 3,48 (3Н, с, 2'-OCH<sub>3</sub>). Лит. [5]:  $^1\text{H}$ -ЯМР-спектр ( $\text{DMSO}-d_6$ , относительно ТМС): 11,2 (1Н, с, N<sup>4</sup>-Н); 8,55 (1Н, д, 6-Н); 8,1—7,2 (6Н, м, 5-Н и Bz); 5,89 (1Н, д, 1-Н); 5,2 (2Н, м, 3',5'-ОН); 4,2—3,6 (5Н, м, 2',3',4',5'-Н); 3,48 (3Н, с, 2'-OCH<sub>3</sub>).

*5'-O-Диметокситритил-2'-O-метилрибонуклеозид-3' -Н-фосфонаты (Va, в)* [10]. Диметокситритильную группу в соединения (IIIа, в) вводили стандартными методами. Выходы (IVa, в) 80—85 %.  $R_f$  (IVa) 0,61,  $R_f$  (IVb) 0,50 (В). Далее к раствору 1 ммоль защищенного нуклеозида (IVa, в) в смеси 3 мл абсолютного диоксана и 1 мл N-метилморфорлина добавляли 1 мл 1,25 М раствора салицилхлорфосфина в диоксане. Через 10 мин к реакционной смеси добавляли 2 мл 1 М TEAB (рН 8,5) и полученный раствор хроматографировали на Silasorb C-18, используя линейный градиент концентрации этанола в 0,01 М TEAB (рН 8,5). Объединенные фракции упаривали досуха с абс. ацетонитрилом. Выходы и характеристики полученных соединений приведены в табл. 1.

*Синтез олиго(2'-O-метилрибонуклеотидов).* Присоединение первого нуклеозидного звена к полимерному носителю проводили как описано в работе [14]. Для олигонуклеотидного синтеза использовали 15 мг полимера с емкостью по присоединенному 5'-O-диметокситритил-2'-O-тетрагидропирианилуридину 35 мкмоль/г и по присоединенному N<sup>4</sup>-бензоил-5'-O-диметокситритил-2'-O-тетрагидропирианилцитидину 28 мкмоль/г. Цикл присоединения одного нуклеотидного звена проводили согласно картеж-схеме операций, представленной в табл. 2. По завершении синтеза олиго-

(нуклеозид-Н-фосфонат), связанный с полимером, обрабатывали 30 мин свежеприготовленным 0,2 М I<sub>2</sub> в смеси Py—H<sub>2</sub>O (98 : 2), затем промывали ацетоном и высушивали.

*Удаление защитных групп и выделение олигорибонуклеотидов.* а) Полимерный носитель с присоединенными защищенным гексарибонуклеотидами заливали 1 мл конц. NH<sub>4</sub>OH и выдерживали 16 ч при 55° С. Раствор декантировали, полимер промывали несколько раз водным этанолом, упаривали досуха, добавляли 1 мл 0,01 М HCl (рН 2) и выдерживали 2 ч при 50° С. Смесь нейтрализовали разбавленным NH<sub>4</sub>OH и хроматографировали на колонке с ионообменной смолой (рис. 1а). Фракцию, содержащую целевой продукт, упаривали, растворяли в H<sub>2</sub>O и подвергали обращенно-фазовой хроматографии (рис. 1б) с последующим выделением олигонуклеотидов в виде литиевых солей путем осаждения из водного раствора в 2% LiClO<sub>4</sub> в ацетоне [15].

б) Полимерный носитель с присоединенным 5'-О-диметокситритилсодержащим пентадекарибонуклеотидом заливали 1 мл конц. NH<sub>4</sub>OH. Реакционную смесь выдерживали 16 ч при 55° С, декантировали раствор, промывали полимер несколько раз водным этанолом, добавляли 0,5 мл 0,1 М трис-HCl (рН 10) и упаривали досуха. Остаток растворяли в H<sub>2</sub>O и проводили обращенно-фазовую хроматографию в градиенте концентрации ацетонитрила от 0 до 30% в 0,05 М LiClO<sub>4</sub>, отитрованном до рН 8 добавлением триэтиламина. Фракцию, содержащую целевой продукт (рис. 2а), упаривали, выдерживали 2 ч при рН 2 (0,01 М HCl) и 50° С, затем нейтрализовали NH<sub>4</sub>OH, экстрагировали эфиrom и проводили обращенно-фазовую хроматографию (рис. 2б) с последующим выделением олигонуклеотида в виде литиевой соли как описано выше.

*Определение нуклеотидного состава олиго(2'-О-метирибонуклеотидов).* К 0,5 ОЕ<sub>260</sub> олигонуклеотида в 100 мкл H<sub>2</sub>O добавляли 6 мкл буфера (0,1 М трис-HCl, 5 мМ MgCl<sub>2</sub>, рН 8,4) и 14 мкл смеси ФДЭ и 5'-нуклеотидазы из яда кобры в 0,02 М трис-HCl (рН 7,8) в 50% глицерине. Смесь инкубировали 1 ч при комнатной температуре, прогревали 2 мин при 100° и анализировали методом обращенно-фазовой МКХ (рис. 3). Времена удерживания нуклеозидов на колонке (2,5; 3,2; 4,7 и 6,8 мин для С, У, См и Um соответственно) и их спектральные характеристики ( $\epsilon_{250/260}$  и  $\epsilon_{280/260}$  равны 0,83 и 1,05; 0,75 и 0,37; 0,84 и 1,07; 0,75 и 0,38 для С, У, См и Um соответственно) совпадают с характеристиками нуклеозидов-маркеров. Количественный анализ соотношения нуклеозидов в гидролизатах проводили путем измерения площадей пиков на хроматограмме. Получены следующие молярные соотношения: для (VIIб) С : См = 1 : 5,3; для (VIIв) У : См : Um = 1 : 9,9 : 4,1.

Авторы благодарят В. В. Горна за помощь в работе.

#### СПИСОК ЛИТЕРАТУРЫ

1. Inoue H., Hayase Y., Asaka M., Imura A., Iwai S., Miura K., Ohtsuka E. // Nucl. Acids Res. Symp. Ser. № 16. 1985. P. 165—168.
2. Kierzek R., Rozek M., Markiewicz W. T. // Bull. Acad. pol. sci. Chem. 1987. V. 35. № 11—12. P. 507—516.
3. Inoue H., Hayase Y., Iwai S., Ohtsuka E. // Nucl. Acids Res. Symp. Ser. № 18. 1987. P. 221—224.
4. Inoue H., Hayase Y., Iwai S., Ohtsuka E. // FEBS Lett. 1987. V. 215. № 2. P. 327—300.
5. Inoue H., Hayase Y., Iwai S., Ohtsuka E., Imura A., Miura K., Asaka M. // Nucl. Acids Res. 1987. V. 15. № 15. P. 6163—6148.
6. Mikai S., Shibahara S., Morisawa H. // Nucl. Acids Res. Symp. Ser. № 19. 1988. P. 417—420.
7. Garegg P. J., Lindh I., Regberg T., Stawinski J., Stromberg R., Henrichson C. // Tetrahedron Lett. 1986. V. 27. № 34. P. 4051—4058.
8. Веньяминова А. Г., Левина А. С., Косолапова З. А., Репкова М. Н. // Биоорганическая химия. 1987. Т. 13. № 11. С. 1580—1590.
9. Marugg J. E., Tromp M., Kuyl-Yehenskiely E., van der Marel G. A., van Boom J. H. // Tetrahedron Lett. 1986. V. 27. № 23. P. 2661—2664.
10. Веньяминова А. Г., Комарова Н. И., Левина А. С., Репкова М. Н. // Биоорганическая химия. 1987. Т. 14. № 4. С. 484—489.

11. Ястребов С. И. Способ получения сорбента: А. с. 4153976 СССР // Б. И. 1985. № 17. С. 28.
12. Каракин Ю. В., Ангелов И. И. Чистые химические вещества. М.: Химия, 1974. С. 336.
13. Anschütz R., Emery W. O. // J. Liebigs Ann. Chem. 1887. В. 239. № 3. С. 301—313.
14. Ломакин А. И., Ястребов С. И., Попов С. Г. // Биоорган. химия. 1985. Т. 11. № 7. С. 920—927.
15. Баран Г. И., Грачев С. А. // Биоорган. химия. 1985. Т. 11. № 10. С. 1420—1422.

Поступила в редакцию  
4.VIII.1989

A. G. VENIJAMINOVA, Z. A. KOSOLAPOVA, M. N. REPKOVA

**OLIGO(2'-O-METHYLRIBONUCLEOTIDES) AND THEIR DERIVATIVES.  
I. AUTOMATIC H-PHOSPHONATE SYNTHESIS OF  
THE OLIGO(2'-O-METHYLRIBONUCLEOTIDES) VIA H-PHOSPHONATES**

*Institute of Bioorganic Chemistry, Siberian Division,  
Academy of Sciences of the USSR, Novosibirsk*

New representatives of the H-phosphonate's class, N-acyl-2'-O-methyl-5'-O-dimethoxytritylribonucleoside 3'-H-phosphonates, were synthesized via salicylchlorophosphine and used for the automatic synthesis of oligo(2'-O-methylribonucleotides). The efficiency of the method was demonstrated by the synthesis of a number of pyrimidine-ligomers with chain length from 6 to 15 monomers.